

## СТРУКТУРНО-БИОЛОГИЧЕСКАЯ ХАРАКТЕРИСТИКА ИЗОТИПОВ СК1-ПОДОБНЫХ ПРОТЕИНКИНАЗ, НЕПОСРЕДСТВЕННО СВЯЗАННЫХ С РЕГУЛЯЦИЕЙ СИСТЕМЫ МИКРОТРУБОЧЕК ВЫСШИХ РАСТЕНИЙ

П.А. КАРПОВ \*, А.В. РАЕВСКИЙ, Я.А. ШЕРЕМЕТ, А.И. ЕМЕЦ, Я.Б. БЛЮМ

Институт пищевой биотехнологии и геномики НАН Украины, ул. Осиповского, 2а, Киев, 04123, Украина

E-mail: karpov@nas.gov.ua\*

Идентифицировано 18 изотипов СК1-подобных протеинкиназ у *A. thaliana*. Сравнение каталитических доменов протеинкиназ СК1 крысы ( $\alpha$ ,  $\beta$ ,  $\gamma1-3$ ,  $\delta$  и  $\varepsilon$ ) и 18-ти гомологов из *A. thaliana* подтвердило значительное структурное сходство 13-ти протеинкиназ: *CKL1* (*CK1 $\delta$* ), *CKL2*, *CKL3*, *CKL4*, *CKL5*, *CKL6*, *CKL7*, *CKL8*, *CKL9*, *CKL10*, *CKL11*, *CKL12* и *CKL13*. Было обнаружено, что СК1-специфический ингибитор D4476 взаимодействует с *KC1D* крысы и отобранными растительными гомологами аналогичным АТФ-конкурентным способом. Взаимодействие с лигандом было подтверждено значениями оценочных функций докинга, результатами молекулярной динамики и результатами хемогенного анализа. Известно, что взаимодействие протеинкиназ СК1 с субстратными белками в значительной степени зависит от наличия специфических мотивов, расположенных в С-концевой области. Соответствующие мотивы взаимодействия с *EB1* были выявлены в С-концевых областях *CKL1* и *CKL2*. Также была подтверждена роль С-концевого фрагмента *CKL6* во взаимодействии с  $\beta$ -тубулином.

**Ключевые слова:** казеин киназа 1, растительные гомологи, тубулин, *EB1*, фосфорилирование, ингибитор, D4476, *Arabidopsis*.

**Введение.** Среди представителей суперсемейства протеинкиназ казеин-киназы 1 (СК1) являются несомненными лидерами по количеству субстратов фосфорилирования [1–3]. Однако доказательства непосредственного участия в формировании тубулинового кода высших растений для протеинкиназ данного семейства появились сравнительно недавно [4]. В частности, было показано, что растительная протеинкиназа СК1-like 6 (*CKL6*) фосфорилирует  $\beta$ -тубулин в положениях Ser413 and Ser420, а нарушение ее экспрессии вызывает перестройки микротрубочек в клетках *Arabidopsis thaliana* и увеличение общей гетерогенности клеток [4].

© П.А. КАРПОВ, А.В. РАЕВСКИЙ, Я.А. ШЕРЕМЕТ, А.И. ЕМЕЦ, Я.Б. БЛЮМ, 2020

Таким образом, факт, что растительные СК1 вносят непосредственный вклад в тубулиновый код и функциональную специализацию микротрубочек высших растений не вызывает сомнений [4–6].

Наши предыдущие эксперименты с использованием линии *A. thaliana*, экспрессирующей маркер микротрубочек – химерный конструкт GFP-Map4, – подтвердили существование ответной реакции микротрубочек растений на обработку СК1-специфичным ингибитором D4476 (4-[4-(2,3-дигидро-бензо[1,4]диоксин-6-ил)-5-пирдин-2-ил-1Н-имидацол-2-ил]бензамид) [6, 7]. Было показано, что действие D4476 носит дозозависимый характер и оказывает влияние на морфологию корней проростков *A. thaliana* [6]. Кроме того, наблюдавшиеся морфо-физиологические реакции коррелировали с реорганизацией системы микротрубочек, инициированной избирательным ингибированием активности СК1 [6].

Известно всего несколько сильных и селективных ингибиторов СК1 и, как правило, они прошли достаточную апробацию исключительно на животных объектах [3, 8, 9]. В настоящее время D4476 несомненно, является одним из наиболее перспективных инструментов прижизненного исследования роли СК1-специфичного фосфорилирования [9, 10]. Биохимическое профилирование против обширной группы протеинкиназ человека (включающей СК1 $\delta$ ), показало, что D4476 в концентрации 10 мкМ ингибирует протеинкиназу СК1 $\delta$  более чем на 90 %, но практически не влияет на активность других протеинкиназ исследованной панели [9, 10]. Было выдвинуто предположение, что D4476 аналогичным образом ингибирует активность всех изотипов протеинкиназы СК1. Данное допущение основывалось на значительном сходстве последовательностей

их каталитических доменов и подобии эффекта D4476, наблюдавшемся в случае протеинкиназы CK1 млекопитающих и *Schizosaccharomyces pombe* [9]. Тем не менее, данное предположение не является однозначным, поскольку в 2008 г. был зарегистрирован патент (US 2008/0146617 A1), подтверждающий ингибирующий эффект D4476 (10 мКМ) для протеинкиназы CK1 $\epsilon$  и отсутствие такового в случае CK1 $\gamma$ 1 (CSNK1G1) и CK1 $\gamma$ 2 (CSNK1G2) животных [11]. Кроме того, ингибирующий эффект D4476 был подтвержден на примере протеинкиназы CK1 $\alpha$  эритроцитов человека [12]. Таким образом, определенные отличия ингибирующего действия D4476 на уровне изотипов протеинкиназы CK1 животных вероятно существуют.

В случае растений специфичность действия D4476 на уровне изотипов CK1-подобных протеинкиназ практически не исследована. Ранее нами показано, что D4476 оказывает сильный дозозависимый эффект на рост и морфологию корней *A. thaliana* [6]. Одновременно опыты на растениях, экспрессирующих ассоциированный с микротрубочками флуоресцентный GFP-маркер (GFP-MAP4), подтвердили связь наблюдаемых морфологических реакций и пространственной реорганизации микротрубочек, вызванной ингибированием протеинкиназ CK1 [6]. Тем не менее, вопрос о том, какие из изотипов растительных CK1-подобных протеинкиназ являются наиболее восприимчивыми к действию D4476, а также, какие из них непосредственно связаны с перестройками системы микротрубочек, так до конца и не ясен.

Целью настоящего исследования являлась оценка структурной специфичности действия D4476 на различные изотипы CK1-подобных протеинкиназ *A. thaliana*, а также поиск протеинкиназ CKL, которые наиболее вероятно связаны с ранее наблюдавшимися перестройками системы кортикальных микротрубочек у растений [6].

**Материалы и методы.** Последовательности животных протеинкиназ CK1 были взяты из репозиториев UniProtKB <http://www.uniprot.org/> и NCBI GenBank <http://www.ncbi.nlm.nih.gov/Genbank/> [13] на основании данных литературы [9, 12, 14–18]. Данные последовательности использовались в качестве контроля при отборе растительных гомологов из базы данных

UniProtKB (Swiss-Prot и TrEMBL) [19]. Также при отборе растительных протеинкиназ CKL учитывалась актуальная аннотация статей UniProtKB. Помимо непосредственного отбора из UniProtKB, поиск гомологов осуществлялся с использованием сетевого сервиса SIB BLAST Network Service и алгоритма BLASTp [20, 21]. Растительные гомологи отбирались на основании таких показателей, как идентичность и сходство последовательностей, процент гепов и уровень ожидания (E-value) [20]. Случай многократного депонирования последовательностей выявлялись путем сравнения информации о локусах их генов, представленной в TAIR ([www.arabidopsis.org](http://www.arabidopsis.org)).

Множественные выравнивания аминокислотных последовательностей были выполнены в программе ClustalX (2.1) (<http://www.clustal.org>) с применением весовых матриц BLOSUM [22]. Для составления логов выравниваний был использован сетевой инструмент WebLogo v.3 (<http://weblogo.berkeley.edu/>) [23].

Филогенетические древа растительных и животных протеинкиназ строились на основании результатов множественных выравниваний последовательностей каталитических доменов с применением алгоритма связывания ближайших соседей (NJ) [24, 25]. Границы каталитических доменов были установлены на основании результатов анализа доменной архитектуры с применением сетевого сервиса SMART [26]. Анализ и визуализация дендрограмм были выполнены с применением программ TreeView X Ver.5 (<http://taxonomy.zoology.gla.ac.uk/rod/treeview.html>) [27] и MEGA5 (<http://www.megasoftware.net/>) [28].

Хемогеномное профилирование CK1-подобных протеинкиназ было выполнено с помощью метода иерархической кластеризации (UPGMA) фрагментов последовательностей, формирующих ATP-связывающий карман киназного домена, а также с учетом аминокислотных остатков, участвующих в образовании водородных связей с ингибитором D4476. Протокол анализа основывался на рекомендациях, представленных в литературе [29–31].

Для профильного моделирования пространственной структуры по гомологии была использована программа Modeller 9v8 (<http://salilab.org/modeller/>) [32] и ряд шаблонных структур

из RCSB Protein Data Bank ([www.rcsb.org](http://www.rcsb.org)): 1CK1 (CK1d, 2.30 Å) из *R. norvegicus*, 2CMW (CK $\gamma$ 1, 1.75 Å), 2C47 (CK $\gamma$ 2, 2.40 Å) и 2CHL (CK $\gamma$ 3, 1.95 Å) из *H. sapiens*, 1CSN (CK1l, 2.0 Å) [33], 1EH4 (CK1l, 2.80 Å) [33] из *S. pombe*. Отбор шаблонных структур основывался на результатах поиска с применением Protein Data Bank BLAST ([www.rcsb.org](http://www.rcsb.org)) [35]. После 10 нс оптимизации сольватированных моделей в силовом поле amber99 их качество было оценено при помощи сервера ANOLEA (Atomic Non-Local Environment Assessment) ([www.protein.bio.puc.cl](http://www.protein.bio.puc.cl)) [36].

Визуализация, выравнивание и анализ структурных моделей были выполнены с применением программы PyMol 1.5 ([www.pymol.org](http://www.pymol.org)). Оценка среднеквадратичных отклонений (RMSDs) пространственных структур была выполнена с применением аналитических функций программ MODELLER 9v8 (<http://salilab.org/modeller/>) [32] и PyMol (<https://pymol.org>). Качество и стереохимическая корректность структурных моделей оценивалась с применением сервисов PROCHECK ([www.ebi.ac.uk/thornton-srv/software/PROCHECK/](http://www.ebi.ac.uk/thornton-srv/software/PROCHECK/)) [37] и MolProbity (<http://molprobity.biochem.duke.edu/>) [38]. Результатирующие структурные модели были дополнительно проверены при помощи сервиса Verify3D (Structure Evaluation Server – [http://nihserver.mbi.ucla.edu/Verify\\_3D/](http://nihserver.mbi.ucla.edu/Verify_3D/)) [39].

Модель ингибитора D4476 для последующего докинга была построена с применением редактора Marvin Sketch ([www.chemaxon.com](http://www.chemaxon.com)), а соответствующие файлы топологии были получены при помощи сервиса SwissParam ([www.swissparam.ch](http://www.swissparam.ch)) [40]. Лиганд-белковый докинг был выполнен в программе CCDC GOLD 5.1 ([www.ccdc.cam.ac.uk/](http://www.ccdc.cam.ac.uk/)) [41]. Область докинга на поверхности CK1d (UniProt: Q06486/PDB: 1CK1 2.30 Å) была задана как окружность с радиусом в 10 Å относительно СЕ атома аминокислотного остатка Met85 и аналогичным образом в случае структурной модели растительного гомолога. Во время докинга были использованы параметры генетического алгоритма как: размер популяции 100; селекция 1,1; количество островов – 10; число генетических операций – 100,000. Ван-дер-ваальсовы взаимодействия (vdW) и длина водородных связей равнялись 4.0 Å и 2.5 Å соответственно.

Боковые цепи аминокислот Ile23, Lys38, Met82, Asp128, Lys130, Leu135, Ile148, Asp149 были заданы как подвижные. Ранжирование конформаций лиганда во время докинга основывалось на показателе GoldScore. Для отбора лучших результатов докинга также учитывались внутренние оценочные функции ChemScore и ASP. Как дополнительный контроль нами было использовано структурное сравнение построенных комплексов с экспериментальными PDB-структурами лиганд-белковых комплексов 1CSN и 1EH4 из *S. pombe* с ATP и IC261, соответственно. Лучшие позиции D4476 были определены на основании карт водородных связей (h-bonds) и наличия коротких контактов (short-contacts). Прошедшие проверку модели комплексов являлись отправной точкой для последующей молекулярной динамики.

Молекулярная динамика комплексов была выполнена в программе GROMACS (ver. 4.5.5) [42] с использованием силового поля charmm27 ([www.charmm.org](http://www.charmm.org)) [43]. Заряды систем были рассчитаны с применением CGenFF (CHARMM General Force Field) [44]. Предварительно каждая система была помещена в водное окружение TIP3P со слоем молекул воды равной 10 Å. Нейтрализация системы достигалась сбалансированным замещением молекул воды ионами Na<sup>+</sup> и Cl<sup>-</sup>. Минимизация энергии комплексов выполнялась с использованием метода наискорейшего спуска (25000 шагов). Усредненную модель строили на основании результатов траектории молекулярной динамики начинавшейся после 50 пс с начала расчета. Расчетный диапазон для каждого комплекса составлял 5 нс. Расчет траекторий проводили в NPT-ансамбле (изобарический-изотермический ансамбль: n, P и T = const): температура – 310 K (алгоритм термостата Берендсена) и постоянном давлении в 1 бар (баростат Парринелло-Рамана). Для фиксации всех связей содержащих атомы водорода был применен алгоритм LINCS (LINEar Constraint Solver). Временной шаг молекулярной динамики составлял 2 фс. Для расчета электростатических взаимодействий был применен алгоритм Эвальда для сетки частиц (Particle-mesh Ewald – PME) с порядком интерполяции (pme\_order) 4 и размером ячейки 0,1 нм. Ван-дер-ваальсовы и кулоновские силы рассчитывали при дистанции отсечения равной

10 Å, а периодичность записи координат составляла 200 ps.

Кроме того, при расчете электростатических взаимодействий использовали метод РМЕ при радиусе отсечения потенциала Леннарда-Джонса = 1,2 нм, временном шаге = 2 фс и общей длине траектории не менее 300 нс.

Все расчеты молекулярной динамики были выполнены на кластере ИПБиГ НАН Украины, входящего в состав Украинского Национального Грида ([Ukrainian National Grid - http://grid.nas.gov.ua](http://grid.nas.gov.ua)).

## **Результаты исследований и их обсуждение.**

Ранее, результаты экспериментов на клетках животных и *S. pombe* показали высокую специфичность ингибитора D4476 по отношению к протеинкиназам семейства CK1 [10]. В случае *H. sapiens*, а также других млекопитающих (*R. norvegicus*, *Mus musculus*, и т.д.), семейство CK1 представлено семью протеинкиназами: KC1A (UniProt: P48729), KC1AL (UniProt: Q8N752), KC1D (UniProt: P48730), KC1E (UniProt: P49674), KC1G1 (UniProt: Q9HCP0), KC1G2 (UniProt: P78368) and KC1G3 (UniProt: Q9Y6M4). Однако у высших растений число изоти-

пов CK1-подобных протеинкиназ отличается большим разнообразием. Так, blastp-сканирование протеома *A. thaliana* (UniProtKB) против каталитических доменов протеинкиназ KC1D (*H. sapiens* (UniProt: P48730), *R. norvegicus* (Q06486), *M. musculus* (Q9DC28), *B. taurus* (P35508), *P. abelii* (Q5RC72)) выявило 33 растительных гомолога CK1. Последующее сравнение координат локусов соответствующих генов (данные Tair), выявило дублирующиеся депонирования, что позволило сократить первоначальную выборку до 18-ти уникальных последовательностей CK1 и CK1-like протеинкиназ (табл. 1). Дополнительно, отбор растительных гомологов контролировался результатами NJ-кластеризации (рис. 1). В настоящее время из 18-ти растительных гомологов 13-ти уже присвоен статус аннотированных последовательностей. Одновременно, выравнивание последовательностей и NJ-кластеризация подтвердили неоднородность каталитических доменов CK1-подобных протеинкиназ *A. thaliana*.

Поскольку D4476 является АТФ-конкурентным ингибитором, механизм его действия основывается на связывании данного лиганда в

*Таблица 1. Изотипы казеин киназы 1 (CK1) и казеин-киназа 1 подобных (CKL) протеинкиназ *A. thaliana*, отобранные на основании анализа баз данных и гомологии животным протеинкиназам CK1*

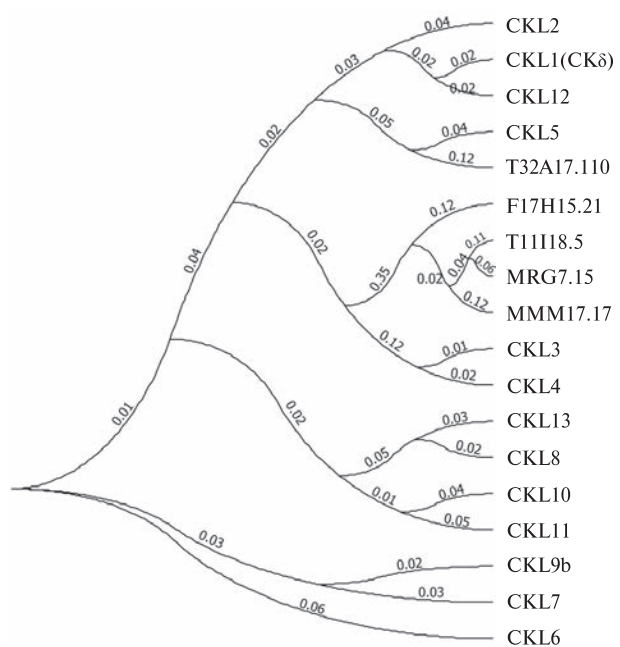
Arabidopsis thaliana CK1 kinases	Ген	UniProt	Локус гена	
			координаты, bp	направление
CKL2	At1g72710	Q9CAI5	27372271-27376584	Forward
CKL9	At1g03930	Q9ZWB3	1004769-1008370	Forward
CKL13	At1g04440	Q5XF24	1202255-1205803	Forward
CKL5	At2g19470	Q9ZUP4	8433611-8436553	Reverse
F17H15.21	At2g25760	O82321	10984808-10988924	Reverse
CKL10	At3g23340	Q9LW62	8350803-8353959	Forward
F20H23.1/T11I18.5	At3g03940	Q9SRW8	1014025-1019224	Reverse
At3g13670/MMM17.17	At3g13670	Q9LID3	4469222-4473547	Forward
CKL1 (CKIδ)	At4g26100	P42158	13227450-13230797	Reverse
At4g08800/T32A17.110	At4g08800	Q9LDY6	5614134-5615919	Forward
		Q1PEB0		
CKL11	At4g14340	Q39050	8248286-8251998	Reverse
CKL6	At4g28540	Q8LPJ1	14106959-14110706	Forward
CKL3	At4g28880	Q93Z18	14251214-14254432	Forward
CKL4	At4g28860	Q8LPI7	14246283-14249544	Forward
CKL12	At5g57015	Q8VYK9	23071097-23074843	Forward
CKL7	At5g44100.1	Q9FFH8	17749118-17752716	Reverse
CKL8	At5g43320.1	Q9LSX4	17385867-17389527	Reverse
MRG7.15	At5g18190	Q9FK52	6009967-6014689	Reverse

фосфат-связывающим кармане [10]. Таким образом, возникает логичный вопрос относительно степени консервативности аминокислотного состава данного сайта у CK1-подобных протеинкиназ *A. thaliana*. Несмотря на общее сходство, результаты выравнивания участков последовательностей фосфат-связывающего кармана протеинкиназ CK1 ( $\alpha$ ,  $\alpha_2$ ,  $\gamma_1$ ,  $\gamma_2$ ,  $\gamma_3$ ,  $\delta$ , and  $\epsilon$ ) из *H. sapiens* и 18-ти CK1-Like киназ из *A. thaliana* выявили заметную гетерогенность данного сайта даже на уровне видоспецифичных групп отобранных протеинкиназ (рис. 2).

В то же самое время результаты анализа ортологичных протеинкиназ CK1, принадлежащих разным видам млекопитающих, показали значительную консервативность данного сайта. Так, например, выравнивание участков фосфат-связывающего сайта ряда животных KC1D показало их полную идентичность (рис. 3). Ранее Rena et al. (2004) показали, что D4476 в концентрации 10 мкМ оказывает 90%-ный ингибирующий эффект на протеинкиназу KC1D (CK1 $\delta$ ) и, практически, не влияет на другие протеинкиназы тестируемой панели [10]. В связи с этим, для дальнейшего сравнительного исследования лиганд-белкового взаимодействия было решено использовать каталитические домены протеинкиназы KC1D из *R. norvegicus* и ближайшего растительного гомолога.

Кроме того, было решено выполнить сравнение пространственной структур всех CK1 из *R. norvegicus* и их растительных гомологов из *A. thaliana*. Результаты blastp-поиска в UniProt-KB позволили нам оценить степень сходства CKL-киназ из *A. thaliana* и эталонной последовательности KC1D (P42158) из *R. norvegicus*. Согласно отчету BLAST, максимальный вес выравнивания «Score» (456) принадлежал растительной протеинкиназе, ранее определенной как CK1 $\delta$  (CKL1) (UniProt: P42158 – идентичность – 78 %, сходство – 92 %, количество геппов равно 0). При этом основные показатели для всей группы растительных гомологов также имели высокие значения: вес выравнивания равен  $324,5 \pm 131,5$ , идентичность – 37–79 %, сходство – 58–92 %, гепы – 0–11 % (табл. 2).

Для последующей оценки структурных отличий каталитических доменов этих белков была выполнена их 3D-реконструкция. Моделирование было выполнено для всех изотипов



**Рис. 1.** Гетерогенность последовательностей каталитических доменов CK1-подобных протеинкиназ *A. thaliana*: CKL11 – Casein kinase 1-like protein 11, CKL2 – Casein kinase 1-like protein 2, CKL3 – Casein kinase 1-like protein 3, CKL4 – Casein kinase 1-like protein 4, CKL5 – Casein kinase 1-like protein 5, CKL6 – Casein kinase 1-like protein 6, CKL7 – Casein kinase 1-like protein 7, CKL8 – Casein kinase 1-like protein 8, CKL9b (CKL9/ADK1) – Casein kinase 1-like protein 9, CKL10 – Casein kinase 1-like protein 10, CKL12 – Casein kinase 1-like protein 12, CKL13 – Casein kinase 1-like protein 13, KC1D (CKL1/CK1 $\delta$ ) – Casein kinase I isoform delta-like, F17H15.21 – Putative casein kinase I (At2g25760), T11I18.5 – Putative casein kinase (At3g03940), MMM17.17 – Putative casein kinase (At3g13670), T32A17.110 – Casein kinase I like protein (AT4g08800), MRG7.15 – Casein kinase-like protein (At5g18190)

протеинкиназ CK1 из *R. norvegicus* (UniProt: P97633 Isoform 1), KC1AL (UniProt: P97633 Isoform 2), KC1D (UniProt: Q06486), KC1E (UniProt: Q9JJ76), KC1G1 (UniProt: Q62761), KC1G2 (UniProt: Q62762), KC1G3 (UniProt: Q62763) и отобранных растительных гомологов из *A. thaliana* (табл. 1 и 2). Шаблонное моделирование, первичная оптимизация геометрии и молекулярная динамика трехмерных моделей каталитических доменов были выполнены согласно ранее описанному протоколу (см. Мате-

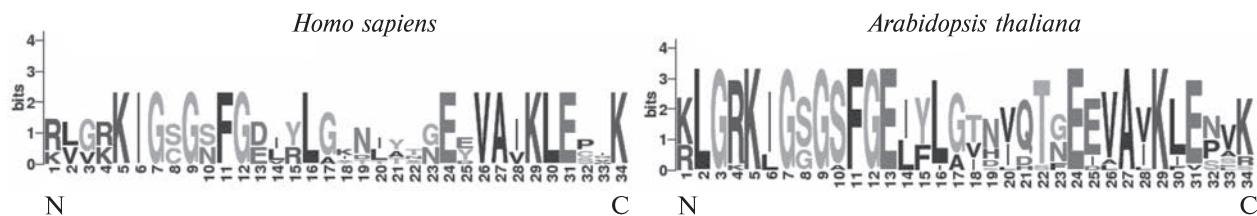


Рис. 2. Логи, составленные на основании выравнивания участков, формирующих АТФ-связывающий карман у всех известных изотипов протеинкиназы CK1 *H. sapiens* и протеинкиназы CKL *A. thaliana*

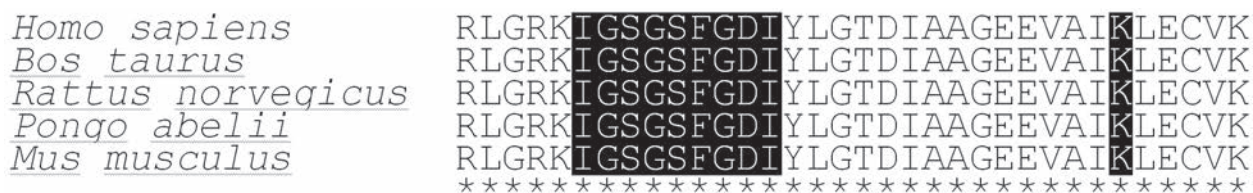
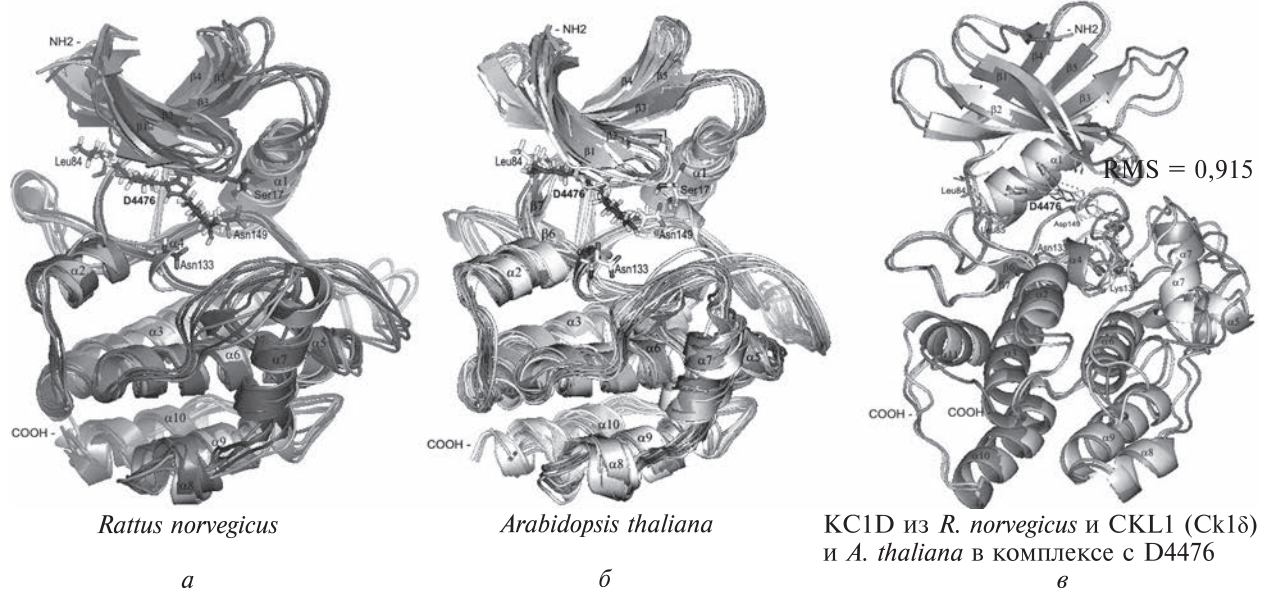


Рис. 3. Множественное выравнивание фрагмента, соответствующего фосфат-связывающему сайту животных протеинкиназ KC1D (*H. sapiens* – P48730, *B. taurus* – P35508, *R. norvegicus* – Q06486, *P. abelii* – Q5RC72 и *M. musculus* – Q9DC28)

риалы и методы). Результаты структурного наложения координат атомов полученных моделей подтвердили высокое сходство всех изотипов протеинкиназы CK1 из *R. norvegicus*. (рис. 4, a). В случае *A. thaliana* некоторые из гомологов (T11I18.5, MRG7.15 MMM17.17) были исключены из последующего исследования, что было обусловлено наличием значительных структурных отличий. Кроме того, растительные гомологи F17H15.21 и T32A17.110 были исключены из последующего исследования, поскольку в настоящее время их полные последовательности из последующего исследования, что было обусловлено наличием значительных структурных отличий. Кроме того, растительные гомологи F17H15.21 и T32A17.110 были исключены из последующего исследования, поскольку в настоящее время их полные последовательности

Таблица 2. Степень сходства растительных протеинкиназ CKL из *A. thaliana* и эталонной последовательности изотипа KC1D казеин киназы 1 (Csnk1d) из *R. norvegicus*

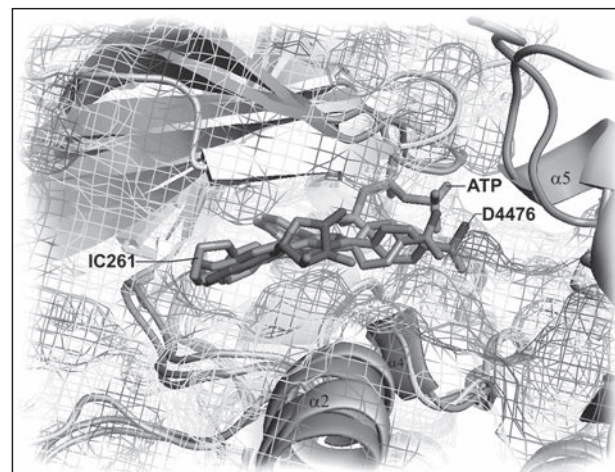
Протеинкиназа	Вес выравнивания	E-value	Идентичность	Сходство	Гепы
			%		
CKL1 (CK1δ)	456	e-129	78	92	–
CKL12	455	e-128	79	90	–
CKL10	451	e-127	75	91	–
CKL9 (ADK1)	451	e-127	75	91	–
CKL7	449	e-126	75	91	–
CKL2	448	e-126	77	91	0
CKL6	442	e-124	74	89	–
CKL11	432	e-121	73	88	–
CKL8	431	e-121	71	88	–
CKL13	428	e-120	71	88	–
CKL5	428	e-120	71	88	–
CKL3	405	e-113	69	85	–
CKL4	405	e-113	69	85	–
T32A17.110	348	4e-96	63	78	11
F17H15.21	196	1e-50	37	58	5
MMM17.17	194	5e-50	37	60	6
MRG7.15	193	1e-49	37	58	5
T11I18.5	134	8e-32	39	59	3



**Рис. 4.** Результаты структурного наложения координат С-атомов CK1-подобных протеинкиназ из *R. norvegicus* (*а*: KC1A, KC1AL, KC1D, KC1E, KC1G1, KC1G2 и KC1G3) и *A. thaliana* (*б*: CKL1 (CK1δ), CKI1, CKL2, CKL3, CKL4, CKL5, CKL6, CKL7, CKL8, CKL9b, CKL10, CKL12, CKL13), а также сравнение животного и растительного изотипов протеинкиназы KC1D/CK1δ в комплексе со специфическим ингибитором D4476 (*в*)

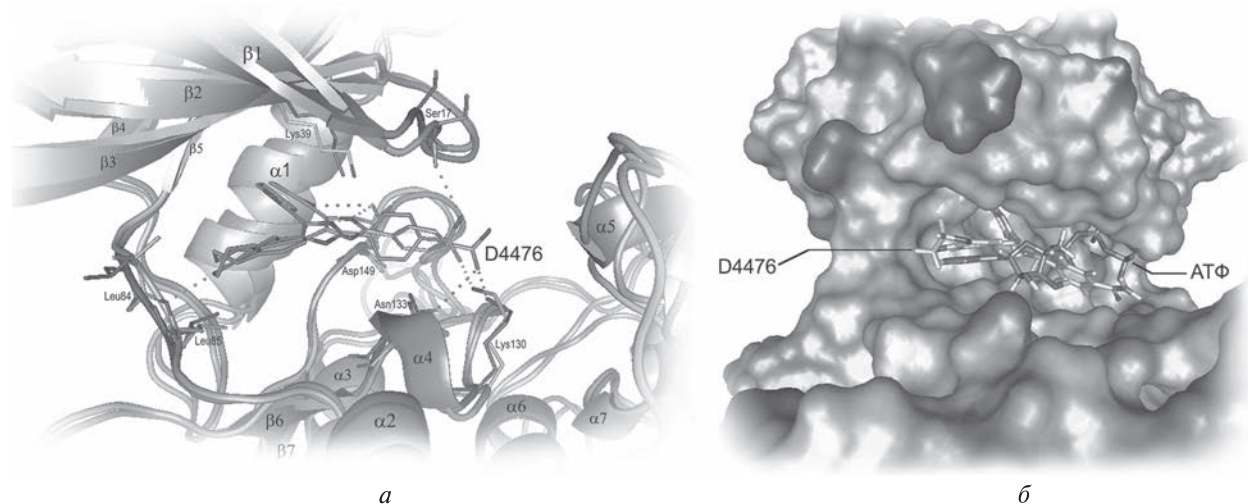
ности отсутствуют. Всего было отобрано 13 растительных протеинкиназ CKL, показавших наибольшее структурное сходство с животными CK1 (рис. 4, *б*). Кроме того, структурное наложение PDB-структурь каталитического домена протеинкиназы KC1D (PDB: 1CKI 2.30 Å) из *R. norvegicus* и модели протеинкиназы CKL1 (CK1d, UniProt: P42158) из *A. thaliana* подтвердило их значительное сходство (RMS = 0,915) (рис. 4, *в*). Это окончательно определило данные протеинкиназы как приоритетные мишени для последующего молекулярного докинга D4476.

Протокол лиганд-белкового докинга, а также верификация его результатов детально изложены ранее (см. раздел «Материалы и методы»). Для дополнительной верификации результатов и контрольной калибровки оценочных функций программы CCDC Gold нами был выполнен докинг с использованием экспериментально доказанных структур протеинкиназ CK1 из *S. pombe* (PDB ID: 1CSN, 1EH4) с ATP и IC261 соответственно. Полученные модели комплексов подтвердили отсутствие стericеских барьеров для связывания D4476



**Рис. 5.** Структурное выравнивание CK1/CK1-подобных протеинкиназ из *R. norvegicus* (красный), *A. thaliana* (зеленый) и *S. pombe* (серый) в комплексе с лигандами: ATP (ATФ), D4476 и IC261. Наложение АТФ-связывающих карманов позволяет сравнить позиции и ориентацию лигандов (ATP (ATФ), IC261 и D4476) в сайте и подтверждает отсутствие структурных препятствий для связывания D4476

(рис. 5). Критериями отбора оптимальных активных конформаций D4476 в сайте протеин-



**Рис. 6.** Сравнение результатов молекулярного докинга D4476 (4-(4-(2,3-dihydrobenzo(1,4)dioxin-6-yl)-5-pyridin-2-yl-1H-imidazol-2-yl)benzamide) в АТФ-связывающий карман KC1D из *R. norvegicus* (красный) и CK1 $\delta$  (CKL1) из *A. thaliana* (зеленый): *a* – сравнение результатов докинга D4476 в целевой сайт животного (KC1D) и растительного (CK1 $\delta$ ) гомологов. На рисунке выделены аминокислоты, важные для связывания лиганда; *б* – сравнение позиций D4476 и нативного АТФ целевом сайте CK1 $\delta$  из *A. thaliana*

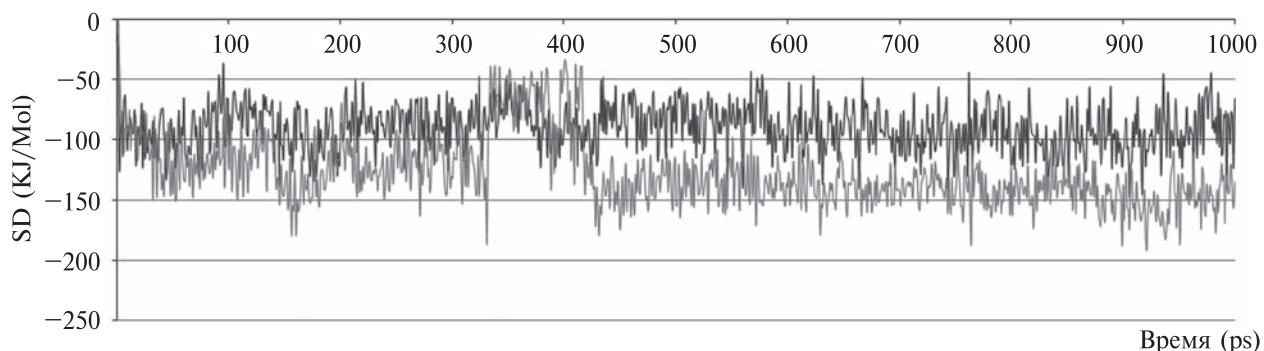
киназ KC1D (*R. norvegicus*) и CKL1 (KC1 $\delta$ , из *A. thaliana*) являлись: число водородных связей и наличие коротких контактов. Построенные комплексы сравнивались как между собой, так и с экспериментально подтвержденными структурами белков 1CSN и 1EH4 (рис. 5 и 6).

Последующую молекулярную динамику комплексов выполняли в программе GROMACS с применением силового поля charmm27 (см. Материалы и методы). Главной целью расчетов было определение аминокислотных остатков, непосредственно участвующих в связывании лиганда. Ранее построенные комплексы CK1D-D4476 для *R. norvegicus* и CK1 $\delta$ -D4476 для *A. thaliana* были использованы как источники исходных координат. По окончанию расчетов было установлено, что на протяжении 5 нс молекулярной динамики, среднее число водородных связей составляет 3,9 для комплекса из *R. norvegicus* и 2,9 для комплекса из *A. thaliana*.

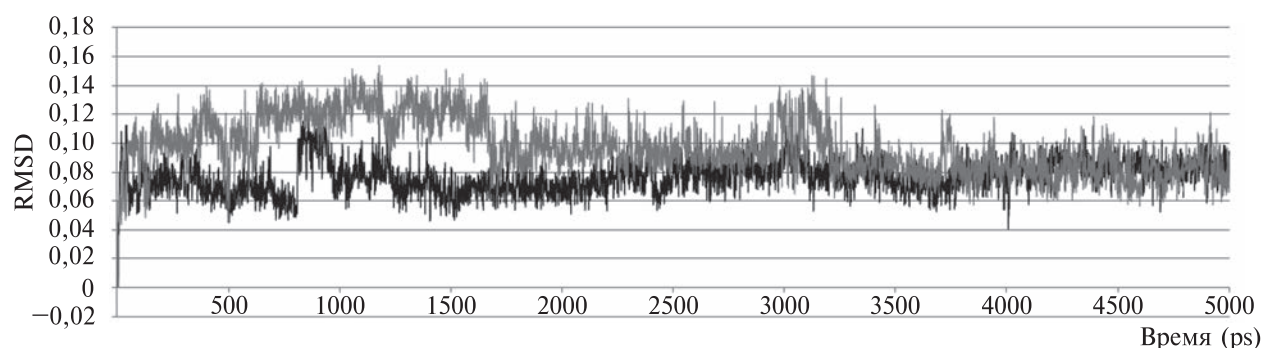
Согласно результатам докинга в случае обоих комплексов водородные связи и короткие контакты с D4476 образовывали 5 аминокислот сайта: Ser17, Lys130, Asn133, Asp149 и Leu84 (рис. 6). Результаты расчета молекулярной динамики (SD, RMSD, локальные потенциалы кулон-

новского взаимодействия (120.915 кДж/моль в случае *R. norvegicus* и 101,475 кДж/моль в случае *A. thaliana*), полностью подтвердили первоначальные выводы о ключевой роли данных аминокислот в связывании D4476 (рис. 7 и 8).

Значительное внутри- и межвидовое сходство протеинкиназ CKL растений и протеинкиназ CK1 животных позволило нам применить кластеризацию фрагментов, которые непосредственно участвуют в формировании АТФ-связывающего кармана. Учитывая структурное сходство группы, такая кластеризация является оптимальным методом экспресс-оценки сходства аминокислотного состава и выявления возможных альтернативных мишени ингибитора. Исследуемая группа включала фрагменты АТФ-связывающего кармана протеинкиназы KC1D крысы, а также протеинкиназ CK1 $\alpha$ ,  $\delta$ ,  $\gamma 1$ ,  $\gamma 2$ , и  $\epsilon$  (KC1A, KC1D, KC1G1, KC1G2, KC1E) человека, поскольку для данных протеинкиназ существуют биохимические доказательства прямого ингибирующего эффекта D4476 (положительный контроль – протеинкиназы CK1 $\alpha$ ,  $\delta$  и  $\epsilon$ ), или наоборот его отсутствия (отрицательный контроль – протеинкиназы CK1 $\gamma 1$  и  $\gamma 2$ ) [9–11]. Для каждой из протеинкиназ мы получили профиль состоящий из семи фрагментов формирующих АТФ-связывающий кар-



**Рис. 7.** Анализ динамики кулоновских взаимодействий D4476 с целевым сайтом KC1D из *R. norvegicus* и CKL1(CK1 $\delta$ ) из *A. thaliana*. Примечание: серым цветом обозначена траектория KC1D из *R. norvegicus*; черным цветом – CKL1(CK1 $\delta$ ) из *A. thaliana*



**Рис. 8.** Результаты расчета флюктуаций среднеквадратичного отклонения (RMSD) D4476 в комплексе с CK1D из *R. norvegicus* и CKL1 (CK1 $\delta$ ) из *A. thaliana*. Примечание: серым цветом обозначена траектория KC1D из *R. norvegicus*; черным цветом – CKL1 (CK1 $\delta$ ) из *A. thaliana*

ман (рис. 9). Для этого применяли два вида кластеризации: 1) когда после первичного выравнивания удалялись все консервативные колонки – «\*» (за исключением колонок аминокислотных остатков, участвующих в связывании лиганда – «#»), и 2) с использованием исключительно колонок аминокислот, участвующих в формировании комплекса с молекулой D4476 (рис. 10, *a, б*).

В обоих случаях мы наблюдали кластеризацию всех растительных CK1-подобных протеинкиназ с животными протеинкиназами CK1 $\alpha$ ,  $\delta$  и  $\epsilon$ , способными взаимодействовать с D4476: KC1D\_RAT (Q06486), KC1D\_HUMAN (P48730), KC1E\_HUMAN (P49674), KC1A\_HUMAN (P48729). В то же самое время протеинкиназы KC1G1\_HUMAN (Q9HCP0) и KC1G2\_HUMAN (P78368), использовавшиеся как негативный контроль, формировали отдельную кладу (рис. 10, *a, б*). Из пяти остатков,

непосредственно взаимодействующих с лигандом, замены существуют только в позициях, эквивалентных Ser17 протеинкиназы KC1D из крысы. В случае белков CKL1\_ARATH (CK1 $\delta$ , P42158), CKL12\_ARATH (Q8VYK9), CKL5\_ARATH (Q9ZUP4), CKL9\_ARATH (Q9ZW83), CKL7\_ARATH (Q9FFH8), CKL13\_ARATH (Q5XF24), CKL8\_ARATH (Q9LSX4), CKL10\_ARATH (Q9LW62) и CKI1\_ARATH (Q39050) серин в данной позиции был консервативен. В случае белков CKL2\_ARATH, CKL6\_ARATH (Q8LPJ1), CKL3\_ARATH (Q93Z18) и CKL4\_ARATH (Q8LPI7) в данном положении вместо серина (гидрофобный момент (HM) = -1,1; изоэлектрическая точка (pI) = 5,7; индекс гидрофобности в случае CKL1 из *Arabidopsis* равна -0,8) был глицин (гидрофобный момент (HM) = 0,7; изоэлектрическая точка (pI) = 6,0; индекс гидрофобности в случае протеинкиназы CKL6 из *Arabidopsis* равна -0,4).[45] По

	1	2	3	4	5	6	7					
CKL1 ARATH (CK1δ, P42158)	KIGSGSFGEIYLG	LAIKL	LYR	NVK	VLVMDILGPSLEDL	IKPDNFLM	IIDFGLA					
CKL12 ARATH (Q8VYK9)	KIGSGSFGEIYLG	VAIKL	LYR	NIK	TLVMDILGPSLEDL	IKPDNFLM	IIDFGLA					
CKL2 ARATH (Q9CAI5)	KIGGGSFGEIYLG	VAIKL	LYK	NVK	VLVIDILGPSLEDL	IKPDNFLM	VIDFGLA					
CKL5 ARATH (Q9ZUP4)	KIGSGSFGEIYLG	VAIKL	LYR	NMK	VLVMDILGPSLEDL	IKPDNFLM	IIDYGLA					
CKL9 ARATH (Q9ZWB3)	KIGSGSFGEYLGLG	VAVKL	LYM	NLK	VMVIDILGPSLEDL	IKPDNFLM	IIDFGLG					
CKL7 ARATH (Q9FFH8)	KIGSGSFGEYLGLG	VAVKL	LYM	NIK	VMVIDILGPSLEDL	IKPDNFLM	IIDFGLG					
<b>CKL6 ARATH (Q8LPJ1)</b>	KIGGGSGFGLFLA	AAVKL	IYM	SLK	AMVIDILGPSLEDL	IKPDNFLM	IIDFGLA					
CKL13 ARATH (Q5XF24)	KLGSGSFGEIYLG	VAVKL	LYM	HLK	CMVIDILGPSMEEF	IKPDNFLM	IIDYGLA					
CKL8 ARATH (Q9LSX4)	KLGSSGFGELFLG	VAVKL	LYM	HLK	CMVIDILGPSMEDL	IKPDNFLM	IIDYGLA					
CKL10 ARATH (Q9LW62)	KIGSGSFGEYLIG	VALKL	YVM	HIK	CMAIDILGPSLEDL	IKPDNFLM	IIDYGLA					
CKL11 ARATH (Q39050)	KLGSGSFGEYLGLG	VAVKL	IYM	HLK	CMVIDILGPSLEDL	IKPDNFLM	IIDYGLA					
CKL3 ARATH (Q93Z18)	KIGGGSGFGEIYLA	VAVKI	LYR	RIK	ALVMDILGPSLEDL	IKPDNFLM	LIDFGLA					
CKL4 ARATH (Q8LPJ1)	KIGGGSGFGEIYLA	VAVKI	LYR	RIR	ALVMDILGPSLEDL	IKPDNFLM	LIDFGLA					
<b>KC1D RAT (1CK1, 1CKJ)</b>	KIGSGFGDIFYLG	VAIKL	IYK	TIR	VMVMEILGPSLEDL	VKPDNFLM	IIDFGLA					
<b>KC1D HUMAN (P48730)</b>	KIGSGFGDIFYLG	VAIKL	IYK	TIR	VMVMEILGPSLEDL	VKPDNFLM	IIDFGLA					
<b>KC1E HUMAN (P49674)</b>	KIGSGFGDIFYLG	VAIKL	FYK	SIK	VMVMEILGPSLEDL	VKPDNFLM	IIDFGLA					
<b>KC1A HUMAN (P48729)</b>	KIGSGFGDIFYLA	VAVKL	LYK	HIR	VLVMDILGPSLEDL	IKPDNFLM	LIDFGLA					
<b>KC1G1 HUMAN (Q9HCP0)</b>	KIGGNFGELRLIG	VAIKL	FYK	QVY	AMVLEILGPSLEDL	VKPENFLI	IIDFGLA					
<b>KC1G2 HUMAN (P78368)</b>	KIGGNFGELRLIG	VAIKL	FYK	QVY	AMVLEILGPSLEDL	VKPENFLV	IIDFGLA					
	*	#	***	*	*	****	#*	###	**	*	#	**

Рис. 9. Выравнивание аминокислотных фрагментов формирующих АТФ-связывающий карман у животных протеинкиназ CK1 и их растительных гомологов из *A. thaliana*: «\*» – консервативные аминокислоты, «#» – аминокислотные остатки непосредственно участвующие в связывании D4476 у KC1D из крысы и CKL1 (CK1δ) из *A. thaliana* (рис. 4 и 6, а)

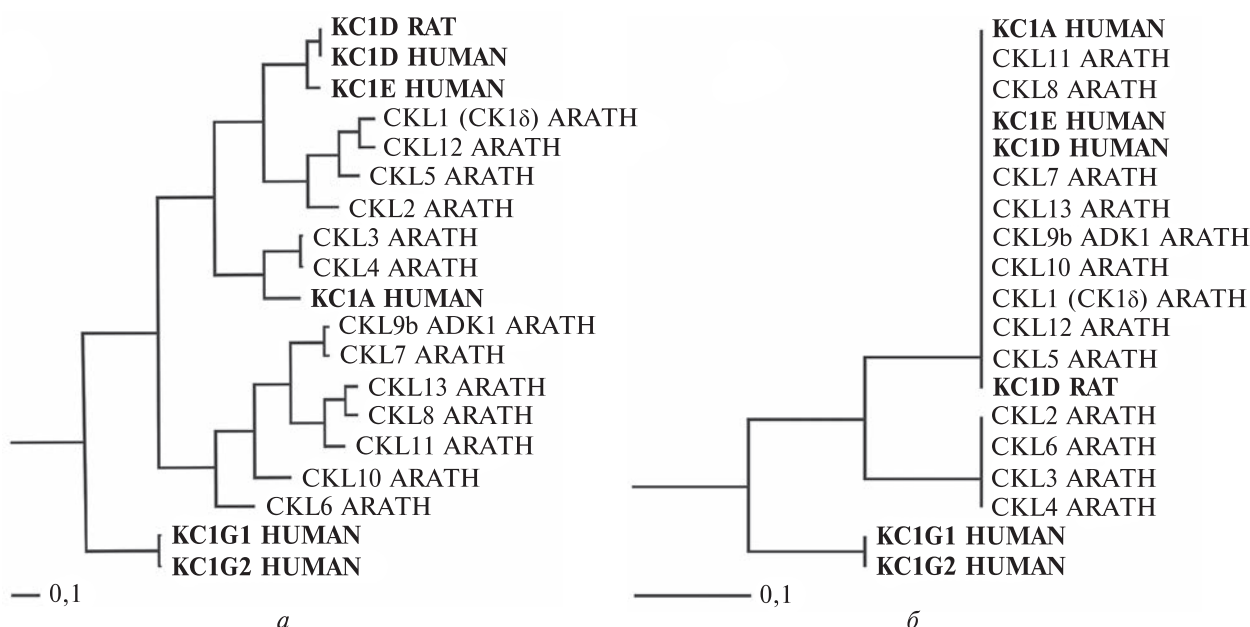


Рис. 10. Результаты хемогеномной кластеризации 13-ти CK1-подобных протеинкиназ из *A. thaliana*. Анализ основывался на UPGMA-кластеризации фрагментов последовательностей, формирующих АТФ-связывающий сайт: а – с использованием аминокислотных фрагментов формирующих АТФ-связывающий карман (с предварительным удалением всех консервативных колонок аминокислот не участвующих в связывании D4476); б – с использованием кластеризации аминокислотных остатков, соответствующих колонкам аминокислот, непосредственно участвующих в связывании АТФ-конкурентного ингибитора D4476. Животные KC1D\_RAT (Q06486), KC1D\_HUMAN (P48730), KC1E\_HUMAN (P49674) и KC1A\_HUMAN (P48729) были использованы как позитивный контроль, а KC1G1\_HUMAN (Q9HCP0) и KC1G2\_HUMAN (P78368) как негативный контроль [9–11]

своим свойствам обе аминокислоты являются небольшими и полярными, что позволяет предполагать, что данная замена не является

критической для взаимодействия с D4476. Более того, ранее, ингибирующее действие D4476 было экспериментально подтверждено для про-

**Структурно-биологическая характеристика изотипов CK1-подобных протеинкиназ**



**Рис. 11.** Сравнение аминокислотного состава фосфат связывающих участков CKL1 (At4g26100.1) и CKL6 (At4g28540.1) из *A. thaliana*: Leu85, Lys130, Asp149 – консервативные аминокислотные остатки непосредственно участвующие во взаимодействии с D4476. Обнаружено что в положении, соответствующем Ser17 (индекс гидрофобности равен -0,8) протеинкиназы CKL1, протеинкиназа CKL6 имеет глицин – Gly21 (индекс гидрофобности равен -0,4)

теинкиназы CKL6 из *Arabidopsis* [4], а также, для животных протеинкиназ KC1D из крысы и человека.

Нами было выполнено сравнение аминокислотного состава участков, связывающих фосфат, протеинкиназ CKL1 (At4g26100.1) и CKL6 (At4g28540.1) из *A. thaliana* (рис. 11). Учитывая сходство пространственных структур и значительное сходство последовательностей (идентичность равна 78 %, сходство – 92 %) сравниваемых участков (рис. 10), можно предположить, что взаимодействие данных протеинкиназ с D4476 должно быть схожим. Из этого следует, что все 13 CK1-подобных протеинкиназ из *A. thaliana* должны взаимодействовать с D4476 и иметь схожий коэффициент ингибирования.

*CK1-подобные протеинкиназы A. thaliana, способные взаимодействовать с микротрубочками.* Анализ С-концевых участков. Биоинформационное исследование показало, что все 13 изотипов CK1-подобных протеинкиназ *A. thaliana* вероятнее всего одинаково взаимодействуют с D4476 (рис. 10). Таким образом, способность индивидуальных изотипов протеинкиназ CKL влиять на динамику микротрубочек растений должна зависеть от их способности взаимодействовать с тубулином микротрубочек или ассоциированными БАМ. Известно, что С-концевой домен протеинкиназы CKL6 из *A. thaliana* способен колокализоваться с кортикальными микротру-

351-VSEKGRNTSRYG-394	- CKL6 <i>Arabidopsis thaliana</i>
646-VSENGRKYSRYG-657	- B5MCW9 HUMAN (EML4)
491-VSENGRKYSRYG-502	- F2Z2U0 HUMAN (EML4)
715-VSENGRKYSRYG-726	- B5MBZ0 HUMAN (EML4)
704-VSENGRKYSRYG-715	- A6P4V4 HUMAN (EML4)
596-VSENGRKYSRYG-607	- F1M356 RAT (EML4)
708-VSENGRKYSRYG-719	- F1LZC1 RAT (EML4)
639-VSENGRKYSRYG-650	- F1LTB2 RAT (EML4)
649-VSENGRKYSRYG-660	- F1LT71 RAT (EML4)
*** : *** :	*****

**Рис. 12.** Сравнение мотива 383-VSEKGRNTSRYG-394 тубулин-связывающего домена протеинкиназы CKL6 *A. thaliana* и гомологичных участков из EML4 (Echinoderm microtubule-associated protein-like 4) человека (B5MCW9, F2Z2U0, B5MBZ0, A6P4V4) и крысы (F1M356, F1LZC1, F1LTB2, F1LT71)

бочками [4]. Было показано, что данный фрагмент (351-RRNVRGSPSPHQNHTRHRTLDEIP-SMKPAVN MVSEKGRNTSRYGSASR-397) ассоциируется с микротрубочками *in vivo* и взаимодействует с тубулином *in vitro* [4]. Blast-поиск показал отсутствие гомологичных участков у какого-либо из изотипов протеинкиназ CK1 представителей *Mammalia* и *Fungi*. В то же самое время, гомологичные участки были обнаружены у ряда CK1-подобных протеинкиназ растений: I1N9S4 из *Glycine max*, B9SS69 (RCOM\_1169490) из *Ricinus communis*, G7I5I9 (MTR\_1g076040) из *Medicago truncatula*, B9HK5 (POPTRDRAFT\_803757) из *Populus trichocarpa*, F6HZM0 (VIT\_07s0005g03710) из *Vitis vinifera* и т.д. Таким образом, есть основания

полагать, что данный домен присущ исключительно растительным гомологам протеинкиназы CKL6 из *A. thaliana*. Кроме того, мы обнаружили области, гомологичные мотиву 383-VSEKGRNTSRYG-394 С-концевого домена EML4 (Echinoderm microtubule-associated protein-like 4) человека (B5MCW9\_HUMAN, F2Z2U0\_HUMAN, B5MBZ0\_HUMAN, A6P4V4\_HUMAN) и крысы (F1M356\_RAT, F1LZC1\_RAT, F1LTB2\_RAT, F1LT71\_RAT), что является еще одним аргументом в пользу важности вышеупомянутого домена для взаимодействия CKL6 с тубулином микротрубочек (рис. 12).

Помимо непосредственного фосфорилирования тубулина, другим возможным путем регуляции динамики микротрубочек в клетках животных является фосфорилирование ассоциированных белков: MAP1 (EB1), MAP2 и MAP4 [46–48]. Однако, ранее было показано, что у растений существуют исключительно гомологи MAP1 (EB1) [49, 50]. Существуют экспериментальные подтверждения фосфорилирования животных EB1 протеинкиназой CKI $\delta$ , что напрямую зависит от наличия у нее небольшого мотива Ser-x-Ile-Pro (SxIP), который специфически распознается EB1 доменом EB1 [46, 51]. Анализ С-концевых доменов CK1-подобных протеинкиназ из *A. thaliana* выявил SxIP мотивы у CKL1 (367-SmIP-370) и CKL2 (340-SgIP-343; 421-SkIP-424). Кроме того, в С-концевой области протеинкиназы CKL2 нами также обнаружен очень похожий мотив, содержащий близкую замену 315-SaIP-318, (I→L317).

Обобщая результаты наших предыдущих экспериментов [6] и данные литературы, можно сделать заключение о существенной роли растительных CK1-подобных протеинкиназ в регуляции системы микротрубочек растений. Очевидно, что такая регуляция может происходить как путем прямого фосфорилирования молекул тубулина протеинкиназой CKL6, так и посредством фосфорилирования ассоциированных белков EB1 протеинкиназами CKL1 и CKL2. Наше предположение также согласуется с данными GeneVestigator ([www.genevestigator.ethz.ch](http://www.genevestigator.ethz.ch)) относительно выраженной экспрессии CKL6, CKL1 и CKL2 в различных зонах и тканях корня *A. thaliana*, а также, результатами более ранних экспериментальных исследований [4,

6]. Таким образом, обнаруженные нами ранее эффекты прижизненного воздействия D4476 на систему микротрубочек *A. thaliana* очевидно, не являются, следствием ингибирования одного определенного изотипа CK1-подобных протеинкиназ. Несомненно, наблюдаемые эффекты носят более сложный и комплексный характер, а выделенные нами изотипы CKL6, CKL1 и CKL2 являются, возможно, лишь малой частью регуляторного механизма, реализуемого непосредственно через тубулиновый код и фосфорилирование структурных БАМ.

**Соответствие этическим стандартам.** Настоящая статья не содержит каких-либо исследований с использованием людей и животных в качестве объектов.

**Конфликт интересов.** Авторы заявляют об отсутствии конфликта интересов.

**Финансирование.** Это исследование не получало финансирования от учреждений в государственном, коммерческом или некоммерческом секторах.

# STRUCTURAL PATTERN OF CK1-LIKE PROTEIN KINASES ASSOCIATED WITH REGULATION OF PLANT MICROTUBULE CYTOSKELETON

*P.A. Karpov, A.V. Rayevsky, Y.A. Sheremet,  
A.I. Yemets, Y.B. Blume*

Institute of Food Biotechnology  
and Genomics NAS of Ukraine,  
Ukraine 04123, Kyiv, Osypovskoho str., 2a,  
E-mail: karpov@nas.gov.ua

It was identified 18 isotypes of CK1-like protein kinases in *A. thaliana*. Comparison of catalytic domains in rat CK1 ( $\alpha$ ,  $\beta$ ,  $\gamma_{1-3}$ ,  $\delta$ , and  $\epsilon$ ) and 18 plant homologs from *A. thaliana*, confirm high structural similarity for 13 CK1-like kinases: CKL1 (CK1 $\alpha$ ), CKL2, CKL3, CKL4, CKL5, CKL6, CKL7, CKL8, CKL9, CKL10, CKL11, CKL12 and CKL13. It was found that CK1-specific inhibitor D4476 interact with rat KC1D and 13 plant homologues in similar ATP-competitive manner. Ligand binding were confirmed by docking scoring functions, molecular dynamics and chemogenomic analysis. The specific binding of CK1 kinases with substrate proteins depend on specific motifs located in their C-end region. The specific motifs of EB1 binding was identified in plant CKL1 and CKL2. Also, it was confirmed the role of C-end region in CKL6- $\beta$ -tubulin interaction.

СТРУКТУРНО-БІОЛОГІЧНА  
ХАРАКТЕРИСТИКА ІЗОТИПІВ CK1-  
ПОДІБНИХ ПРОТЕЇНКІНАЗ, ЯКІ БЕРУТЬ  
БЕЗПОСЕРЕДНЮ УЧАСТЬ В РЕГУЛЯЦІЇ  
СИСТЕМИ МІКРОТРУБОЧОК  
ВІЩИХ РОСЛИН

П.А. Карпов \*, А.В. Раєвський, Я.О. Шеремет,  
А.І. Ємець, Я.Б. Блюм

Ідентифіковано 18 ізотипів CK1-подібних протеїнкіназ у *A. thaliana*. Порівняння каталітичних доменів протеїнкіназ CK1 пасюка ( $\alpha$ ,  $\beta$ ,  $\gamma1-3$ ,  $\delta$  і  $\epsilon$ ) і 18-ти гомологів з *A. thaliana* підтвердило значну структурну подібність у випадку 13-ти протеїнкіназ: CKL1 (CK1 $\delta$ ), CKL2, CKL3, CKL4, CKL5, CKL6, CKL7, CKL8, CKL9, CKL10, CKL11, CKL12 і CKL13. Було встановлено, що CK1-специфічний інгібітор D4476 взаємодіє з KC1D пасюка і відібраними рослинними гомологами у аналогічній АТФ-конкурентній манери. Взаємодію з лігандом було підтверджено значеннями оціночних функцій докінгу, результатами молекулярної динаміки і результатами хемогенного аналізу. Відомо, що взаємодія протеїнкіназ CK1 з субстратними білками в значній мірі залежить від наявності специфічних мотивів, розташованих в С-кінцевий ділянці. Відповідні мотиви що відповідають за взаємодію з EB1, були знайдені в С-кінцевих ділянках CKL1 і CKL2. Також була підтверджена роль С-кінцевого фрагмента CKL6 у взаємодії з  $\beta$ -тубуліном.

СПИСОК ЛІТЕРАТУРЫ

- Cheong, J.K., Virshup, D.M., Casein kinase 1: Complexity in the family, *Int. J. Biochem. Cell Biol.*, 2011, vol. 43, no. 4, pp. 465–9.
- Elmore, Z.C., Guillen, R.X., and Gould, K.L., The kinase domain of CK1 enzymes contains the localization cue essential for compartmentalized signalling at the spindle pole, *Mol. Biol. Cell*, 2018, vol. 29, no. 13, pp. 1664–74.
- Qiao, Y., Chen, T., Yang, H., Chen, Y., Lin, H., Qu, W., Feng, F., Liu, W., Guo, Q., Liu, Z., and Sun, H., Small molecule modulators targeting protein kinase CK1 and CK2, *Eur. J. Med. Chem.*, 2019, vol. 181, pp. 111581, doi.org/10.1016/j.ejmech.2019.111581.
- Ben-Nissan, G., Cui, W., Kim, D.J., Yang, Y., Yoo, B.C., and Lee, J.Y., Arabidopsis Casein kinase 1-Like 6 contains a microtubule-binding domain and affects the organization of cortical microtubules, *Plant Physiol.*, 2008, vol. 148, pp. 1897–907.
- Ben-Nissan, G., Yang, Y., and Lee, J.Y., Partitioning of casein kinase 1-like 6 to late endosome-like vesicles, *Protoplasma*, 2010, vol. 240, pp. 45–56.
- Karpov, P.A., Sheremet, Ya.A., Blume, Ya.B., and Yemets, A.I., Studying the role of protein kinases CK1 in organization of cortical microtubules in *Arabidopsis thaliana* root cells, *Cytol. Genet.*, 2019, vol. 53, no. 6, pp. 441–50.
- Yemets, A., Sheremet, Y., Vissenberg, K., Van Orden, J., Verbelen, J.-P., and Blume, Y.B., Effects of tyrosine kinase and phosphatase inhibitors on microtubules in *Arabidopsis* root cells, *Cell Biol. Int.*, 2008, vol. 32, pp. 630–7.
- Cozza, G., Gianoncelli, A., Montopoli, M., Caparrotta, L., Venerando, A., Meggio, F., Pinna, L.A., Zagotto, G., and Moro, S., Identification of novel protein kinase CK1 delta (CK1 $\delta$ ) inhibitors through structure-based virtual screening, *Bioorg. Med. Chem. Lett.*, 2008, vol. 18, pp. 5672–5.
- Perez, D.I., Gil, C., and Martinez, A., Protein kinases CK1 and CK2 as new targets for neurodegenerative diseases, *Med. Res. Rev.*, 2011, vol. 31, vol. 924–54.
- Rena, G., Bain, J., Elliot, M., and Cohen, P., D4476, a cell-permeant inhibitor of CK1, suppresses the site-specific phosphorylation and nuclear exclusion of FOXO1a, *EMBO Rept.*, 2004, vol. 5, pp. 60–5.
- Aud, D.E., Peng, S.-L.-Y., Methods of treating inflammatory diseases, 2008 (Jun. 19, 2008); US 2008/0146617 A1.
- Zelenak, C., Eberhard, M., Jilani, K., Qadri, S.M., Macek, B., and Lang, F., Protein kinase CK1 $\alpha$  regulates erythrocyte survival, *Cell Physiol. Biochem.*, 2012, vol. 29, pp. 171–80.
- Benson, D.A., Karsch-Mizrachi, I., Lipman, D.J., Ostell, J., and Sayers, E.W., GenBank, *Nucleic Acids Res.*, 2011, vol. 39 (Database issue), D32–37.
- Manning, G., Whyte, D.B., Martinez, R., Hunter, T., and Sudarsanam, S., The protein kinase complement of the human genome, *Science*, 2002, vol. 298, pp. 1912–34.
- Wittau, M., Wolff, S., Xiao, Z., Henne-Bruns, D., and Knippschild, U., Die stressinduzierte Casein Kinase 1 delta kann die Spindeldynamik durch direkte Interaktion mit dem Mikrotubuli assoziierten Protein MAP1A beeinflussen. In: Rothmund M., Jauch KW., Bauer H. (eds) Chirurgisches Forum 2005. Deutsche Gesellschaft für Chirurgie, vol. 34, ch. 13, Springer, Berlin, Heidelberg, 2005, pp. 37–9.
- Albornoz, A., Yácez, J.M., Foerster, C., Aguirre, C., Pereiro, L., Burzio, V., Moraga, M., Reyes, A.E., and Antonelli, M., The CK1 gene family: expression patterning in zebrafish development, *Biol. Res.*, 2007, vol. 40, pp. 251–66.
- Löhler, J., Hirner, H., Schmidt, B., Kramer, K., Fischer, D., Thal, D.R., Leithäuser, F., and Knippschild, U., Immunohistochemical characterisation of cell-type specific expression of CK1 $\delta$  in various tissues of young adult BALB/c mice, *PLoS One*, 2009, vol. 4, no. 1, e4174.

18. Ikeda, K., Zhapparova, O., Brodsky, I., Semenova, I., Tirnauer, J.S., Zaliapin, I., and Rodionov, V., CK1 activates minus-end-directed transport of membrane organelles along microtubules, *Mol. Biol. Cell*, 2011, vol. 22, pp. 1321–9.

19. The UniProt Consortium, UniProt: the universal protein knowledgebase, *Nucl. Acids Res.*, 2017, vol. 45, D158–169.

20. Claverie, J.-M., Notredame, C., Bioinformatics for dummies, 2nd Ed. New York: Wiley Publishing, 2007, 457 p.

21. Korf, I., Yandell, M., and Bedell, J., BLAST. Sebastopol: O'Reilly and Associates, 2003, 368 p.

22. Larkin, M.A., Blackshields, G., Brown, N.P., Chenna, R., McGettigan, P.A., McWilliam, H., Valentin, F., Wallace, I.M., Wilm, A., Lopez, R., Thompson, J.D., Gibson, T.J., and Higgins, D.G., Clustal W and Clustal X version 2.0, *Bioinformatics*, 2007, vol. 23, no. 21, pp. 2947–8. doi: 10.1093/bioinformatics/btm404.

23. Crooks, G.E., Hon, G., Chandonia, J.M., and Brenner, S.E., WebLogo: A sequence logo generator. *Genome Res.*, 2004; vol. 14, pp. 1188–90.

24. Atteson, K., The performance of neighbor-joining algorithms of phylogeny reconstruction. In Jiang T., Lee D., eds. *Lecture Notes in Computer Sci.* Berlin: Springer-Verlag 1997; vol. 1276, pp. 101–10.

25. Hall, B.G., Phylogenetic trees made easy. 3 Ed. Sinauer Ass Inc, 2008: 233 p.

26. Letunic, I., Doerks, T., and Bork, P., SMART 7: recent updates to the protein domain annotation resource, *Nucl. Acids Res.*, 2012; vol. 40 (D1), D302–5.

27. Page, R.D., TREEVIEW: an application to display phylogenetic trees on personal computers. *Comput. Appl. Biosci.*, 1996, vol. 12, pp. 357–8.

28. Tamura, K., Peterson, D., Peterson, N., Stecher, G., Nei, M., and Kumar, S., MEGA5: Molecular evolutionary genetics analysis using maximum likelihood, evolutionary distance, and maximum parsimony methods, *Mol. Biol. Evol.*, 2011; vol. 28, no. 10 2731–9. doi: 10.1093/molbev/msr121.

29. Jacoby, E., Chemogenomics, methods and applications. *Meth. Mol. Biol.*, Springer, Humana Press, 2009; vol. 575, pp. 315.

30. Huang, D., Zhou, T., Lafleur, K., Nevado, C., and Caflisch, A., Kinase selectivity potential for inhibitors targeting the ATP binding site: a network analysis, *Bioinformatics*, 2010; vol. 26, no. 2, pp. 198–204.

31. Baron, R., Computational Drug Discovery and Design, *Meth. Mol. Biol.*, Springer, 2012, vol. 819, 628 p.

32. Eswar, N., Webb, B., Marti-Renom, M.A., Madhusudhan, M.S., Eramian, D., Shen, M.Y., Pieper U., and Sali, A., Comparative protein structure modeling with Modeller. *Cur. Prot. in Bioinform.*, 2006. doi: 10.1002/0471250953.bi0506s15.

33. Xu, R.M., Carmel, G., Sweet, R.M., Kuret, J., and Cheng, X., Crystal structure of casein kinase-1, a phosphate-directed protein kinase, *EMBO J.*, 1995, vol. 14, no. 5, pp. 1015–23.

34. Mashhoon, N., DeMaggio, A.J., Tereshko, V., Bergmeier, S.C., Egli, M., Hoekstra, M.F., and Kuret, J., Crystal structure of a conformation-selective casein kinase-1 inhibitor, *J. Biol. Chem.*, 2000, vol. 275, no. 26, pp. 20052–60. doi: 10.1074/jbc.M001713200.

35. Gu, J., Bourne, P.E., Structural Bioinformatics, 2nd Ed. New Jersey: John Wiley and Sons, vol. 2009, 1035 p.

36. Melo, F., Feytmans, E., Assessing Protein Structures with a Non-local Atomic Interaction Energy, *J. Mol. Biol.*, 1998, vol. 277, pp. 1141–52.

37. Laskowski, R.A., MacArthur, M.W., Moss, D.S., and Thornton, J.M., PROCHECK: a program to check the stereochemical quality of protein structures, *J. Appl. Cryst.*, 1993, vol. 26, pp. 283–91.

38. Chen, V.B., Arendall, W.B., Headd, J.J., Keedy, D.A., Immormino, R.M., Kapral, G.J., Murray, L.W., Richardson, J.S., and Richardson, D.C., MolProbity: all-atom structure validation for macromolecular crystallography, *Acta Crystallogr. D. Biol. Crystallogr.*, 2010, vol. 66, no. 1, pp. 12–21. doi: 10.1107/S09074449-09042073.

39. Eisenberg, D., Lüthy, R., and Bowie, J.U., VERIFY3D: assessment of protein models with three-dimensional profiles, *Meth. Enzymol.*, 1997, vol. 277, pp. 396–404.

40. Zoete, V., Cuendet, M.A., Grosdidier, A., and Michelin, O., SwissParam: a fast force field generation tool for small organic molecules, *J. Comput. Chem.*, 2011, vol. 32, no. 11, pp. 2359–68.

41. Hartshorn, M.J., Verdonk, M.L., Chessari, G., Brewwerton, S.C., Mooij, W.T., Mortenson, P.N., and Murray C.W., Diverse, high-quality test set for the validation of protein-ligand docking performance, *J. Med. Chem.*, 2007, vol. 50, no. 4, pp. 726–41. doi: 10.1021/jm061277y.

42. Stacklies, W., Seifert, C., and Graeter, F., Implementation of force distribution analysis for molecular dynamics simulations, *BMC Bioinformatics*, 2011, vol. 12, no. 101, pp. 1–5.

43. MacKerell, Jr.A.D., Banavali, N., and Foloppe, N., Development and current status of the CHARMM force field for nucleic acids, *Biopolymers*, 2001, vol. 56, no. 4, pp. 257–65.

44. Vanommeslaeghe, K., Hatcher, E., Acharya, C., Kundu, S., Zhong, S., Shim, J., Darian, E., Guvench, O., Lopes, P., Vorobyov, I., and Mackerell, A.D. Jr., CHARMM general force field: A force field for drug-like molecules compatible with the CHARMM all-atom additive biological force fields, *J. Comp.*

- Chem.*, 2010, vol. 31, no. 4, pp. 671–90. doi: 10.1002/jcc.21367.
45. Biro, J.C., Amino acid size, charge, hydropathy indices and matrices for protein structure analysis, *Theor. Biol. and Med. Model.*, 2006, vol. 3, no. 15, doi:10.1186/1742-4682-3-15.
46. Zyss, D., Ebrahimi, H., and Gergely, F., Casein kinase I delta controls centrosome positioning during T cell activation, *J. Cell Biol.*, 2011, vol. 195, pp. 781–97.
47. Wolff, S., Xiao, Z., Wittau, M., Süssner, N., Stütter, M., and Knippschild, U., Interaction of casein kinase 1 delta (CK1 delta) with the light chain LC2 of microtubule associated protein 1A (MAP1A), *Biochem. Biophys. Acta*, 2005, no. 1745, pp. 196–206.
48. Löhler, J., Hirner, H., Schmidt, B., Kramer, K., Fischer, D., Thal, D.R., Leithduser, F., and Knippschild, U., Immunohistochemical characterisation of cell-type specific expression of CK1delta in various tissues of young adult BALB/c mice, *PLoS One*, 2009; 4: e4174. <https://doi.org/10.1371/journal.pone.0004174>.
49. Hamada, T., Microtubule-associated proteins in higher plants, *J. Plant Res.*, 2007, vol. 120, pp. 79–98.
50. Karpov, P.A., and Blume, Y.B., Baird, W.V., Yemets, A.I., Breviaro, D., Bioinformatic search for plant homologues of animal structural MAPs in the *Arabidopsis thaliana* genome, *The Plant Cytoskeleton: a Key Tool for Agro-Biotechnology*, Springer, Netherlands, 2008, pp. 373–94. doi: 10.1007/978-1-4020-8843-8\_18.
51. Honnappa, S., Gouveia, S.M., Weisbrich, A., Damberger, F.F., Bhavesh, N.S., et al. An EB1-binding motif acts as a microtubule tip localization signal, *Cell*, 2009, vol. 138, pp. 366–76.

Поступила в редакцию 24.01.20

После доработки 24.02.20

Принята к публикации 18.07.20